

MAWSON

1305 - 1090 West Georgia Street, Vancouver, BC, V6E 3V7
Telefon: +1 604 685 9316 / Fax: +1 604 683 1585

PRESSEMITTEILUNG

17. August 2021

Mawson bohrt 3,6 Meter mit 7,4 g/t Gold und 2.290 ppm Kobalt auf Hut-Prospekt in Finnland

Vancouver, Kanada - **MawsonGoldLimited** ("Mawson") oder (das "Unternehmen") (TSX:MAW) (Frankfurt:MXR) (PINKSHEETS: MWSNF - <https://www.commodity-tv.com/ondemand/companies/profil/mawson-gold-ltd/>) freut sich, die Bohrerergebnisse der letzten 36 Bohrlöcher mit insgesamt 8.756,5 Metern aus dem 76 Bohrlöcher und 19.422 Meter umfassenden Bohrprogramm 2020/21 des Unternehmens auf dem zu 100 % unternehmenseigenen Gold-Kobalt-Projekt Rajapalot in Finnland bekannt zu geben (Abbildung 1).

Höhepunkte:

➤ Auf the Hut:

- **PAL0301** erbohrte **3,6 Meter mit 7,4 g/t Au, 2.290 ppm Co, 9,4 g/t AuEq** aus 207,7 Metern;
- **PAL0291** erbohrte **1,0 Meter @ 11,2 g/t Au, 28 ppm Co, 11,2 g/t AuEq** aus 106,9 Metern und **14,2 Meter @ 1,2 g/t Au, 353 ppm Co, 1,5 g/t AuEq** aus 284,5 Metern;

➤ Auf Rumajärvi-Prospekt:

- **PAL0258** erbohrte **3,0 Meter mit 8,3 g/t Au, 283 ppm Co, 8,6 g/t AuEq** aus 66,9 Metern
- **PAL0267** erbohrte **27,5 Meter @ 0,7 g/t Au, 443 ppm Co, 1,0 g/t AuEq** aus 30,3 Metern

➤ Auf Prospektionsgebiet South Palokas:

- **PAL0308** erbohrte **22,3 Meter @ 0,6 g/t Au, 751 ppm Co, 1,3 g/t AuEq** aus 439,5 Metern und **8,5 Meter @ 3,1 g/t Au, 866 ppm Co, 3,9 g/t AuEq** aus 492,6 Metern;

➤ Auf Palokas-Prospekt:

- **PAL0283** erbohrte **1,0 Meter mit 8,2 g/t Au, 52 ppm Co, 8,3 g/t AuEq** aus 222,8 Meter;
- **PAL0293** erbohrte **7,1 Meter @ 1,7 g/t Au, 466 ppm Co, 2,1 g/t AuEq** aus 260,2 Metern und **13,8 Meter @ 1,0 g/t Au, 899 ppm Co, 1,7 g/t AuEq** aus 274,2 Metern;

➤ Auf Terry's Hammer Prospekt:

- **PAL0273** erbohrte **9,3 Meter mit 1,5 g/t Au, 422 ppm Co, 1,9 g/t AuEq** aus 14,6 Meter

Herr Hudson, Chairman und CEO, erklärt: *"Eine Fülle von hochgradigen und mächtigen Bohrerergebnissen, die sich von der nahen Oberfläche bis in die Tiefe erstrecken und in einem 1,8 Kilometer langen Trend bei Rajapalot enthalten sind, vervollständigen unsere Berichterstattung über das 19,4 km lange Bohrprogramm 2021. Unser Bohrprogramm 2021 hat mehr wirtschaftliche/gradhaltige Abschnitte als je zuvor geliefert, wobei zwei neue Ressourcengebiete entdeckt und vier weitere Ressourcengebiete erweitert wurden. Da nun alle Ergebnisse vorliegen, erwarten wir mit Spannung die Fertigstellung unserer nächsten Ressourcenerweiterung, die noch vor Ende August erfolgen soll."*

Hier werden die Gold- und Kobaltuntersuchungsergebnisse der letzten 36 Bohrlöcher mit insgesamt 8.756,5 Metern aus dem Bohrprogramm 2020/21 veröffentlicht (Abbildung 1). Insgesamt hat Mawson seit dem Beginn der Bohrungen im September 2020 76 Bohrlöcher über 19.422 Meter gebohrt. Alle Bohrlöcher, die in dieser und früheren Pressemitteilungen am [10. November 2020](#), [18. November 2020](#), [25. November 2020](#), [21. Dezember 2020](#), [12. April 2021](#), [29. Juni 2021](#), [13. Juli 2021](#) und [03. August 2021](#) veröffentlicht wurden, sind in den Tabellen 2 und 3 aufgeführt. Die Abschnitte werden mit einem unteren Cutoff von 0,3 g/t AuEq über einen unteren Schnitt von zwei Metern gemeldet. Es wurde kein oberer Cutoff-Wert angewandt. Bei den hochgradigeren Abschnitten wurde ein unterer Cutoff von 1,1 g/t AuEq über zwei Meter verwendet. Ein Ressourcen-Upgrade bei Rajapalot ist für August 2021 geplant.

Technischer und ökologischer Hintergrund

Für das Bohrprogramm werden vier Diamantbohrgeräte von Kati Oy, Nivalan Timanttikairaus Oy und MK Core Drilling Oy eingesetzt, die alle mit Wasserrückführungs- und Bohrkleinauffangsystemen ausgestattet sind. Der Kerndurchmesser ist NQ2 (50,7 mm). Die Kerngewinnungsraten sind hervorragend und liegen im frischen Gestein durchschnittlich bei nahezu 100 %. Nach dem Fotografieren und Protokollieren in den Einrichtungen von Mawson in Rovaniemi werden die Kernabschnitte, die im Durchschnitt 1 Meter für mineralisierte Proben und 2 Meter für unfruchtbare Proben betragen, in den Kerneinrichtungen des Geological Survey of Finland (GTK) in Rovaniemi, Finnland, halbiert. Die andere Hälfte des Kerns wird für Verifizierungs- und Referenzzwecke aufbewahrt. Die Analyseproben werden mit kommerziellen Transportmitteln vom Standort zur CRS Minlab Oy Anlage in Kempele, Finnland, transportiert. Die Proben wurden mit dem PAL1000-Verfahren aufbereitet und auf Gold analysiert. Dabei wird die Probe in Stahltöpfen mit abrasiven Medien in Gegenwart von Zyanid gemahlen und anschließend das Gold in Lösung mit einem Flammen-AAS-Gerät gemessen. Die Proben für die Multi-Element-Analyse (einschließlich Kobalt) werden im CRS Minlab zerkleinert und anschließend per Flugzeug zu den MSA-Labors in Vancouver (Kanada) transportiert, wo sie mit vier ICP-MS-Methoden analysiert werden. Das QA/QC-Programm von Mawson besteht aus dem systematischen Einsetzen von zertifizierten Standards mit bekanntem Goldgehalt, Doppelproben durch Vierteln des Kerns und Leerproben innerhalb des interpretierten mineralisierten Gesteins. Darüber hinaus fügt CRS Leerproben und Standards in den Analyseprozess ein.

Zur Berechnung der AuEq-Werte wurden die Spotpreise für Gold und Kobalt wie folgt herangezogen:

- Durchschnittlicher Goldpreis US\$1.599 pro Unze
- Durchschnittlicher Kobaltpreis 19,93 US\$ pro Pfund
- Daraus ergibt sich die Goldäquivalentformel $AuEq \text{ g/t} = Au \text{ g/t} + (Co \text{ ppm}/1.170)$.

Das Muttergestein der Gold- und Kobaltmineralisierung besteht aus Sulfiden (Pyrrhotit >> Pyrit) mit Biotit-Muskovit-Chlorit-Schiefer und Mg-Fe-Amphibol-Biotit-Chlorit-Gestein. Zu den Mineralien der Adern und der Bruchfüllung gehören Pyrrhotit, Magnetit und Magnetit-Pyrrhotit (+/- Quarz, Turmalin). Retrogrades Chlorit nach Biotit, Generationen von sekundärem Muskovit ("Serizit") und adergesteuerter Chlorit +/- Turmalin und Magnetit sind ebenfalls vorhanden. Vorläufige RFA-Analysen bestätigen das Vorhandensein von vergesellschaftetem Scheelit und Molybdänit, wobei ersteres unter UV-Licht als winzige Äderchen und Einsprenglinge sichtbar ist. Die mit dem Gold assoziierten Silikatmineral-Alterationen sind eindeutig postmetamorph, reduziert und höchstwahrscheinlich durch hydrothermale Flüssigkeiten aus nahe gelegenen granitoiden Intrusionen verursacht. Chlorit und feiner Muskovit gelten als die Silikatminerale mit der niedrigsten Temperatur, die mit Gold in Verbindung stehen, und zwar strukturell gesteuert in offensichtlicher räumlicher Verbindung mit Quarz- und/oder K-Feldspat-Adern. Alterierte Gesteine, die das mineralisierte Paket einschließen, enthalten lokal reichlich Talk und Turmalin.

Alle Karten wurden im Einheitlichen Koordinatensystem KKJ3/Finnland (EPSG:2393) erstellt.

In den Tabellen 1-2 sind die Daten der Kragen und der Proben aufgeführt. Unter der Annahme einer vorherrschenden schichtgebundenen Kontrolle wird davon ausgegangen, dass die tatsächliche Mächtigkeit des mineralisierten Abschnitts etwa 90 % der beprobten Mächtigkeit beträgt. Tabelle 3 enthält detaillierte Einzeluntersuchungen aller in dieser Pressemitteilung gemeldeten Abschnitte. Die Abschnitte werden mit einem unteren Cutoff von 0,3 g/t AuEq über einen unteren Schnitt von 2 Metern gemeldet. Es wurde kein oberer Cutoff-Gehalt angewandt; bei den hochgradigeren Abschnitten wurde ein unterer Cutoff-Gehalt von 1,1 g/t AuEq auf 2 Metern verwendet.

Technischer Bericht gemäß NI 43-101: Am [14. September 2020](#) wurde von Rodney Webster von AMC in Melbourne (Australien) und Dr. Kurt Simon Forrester von Arn Perspective in Surrey (England) eine aktualisierte Ressourcenschätzung durchgeführt. Sowohl Herr Webster als auch Dr. Forrester sind unabhängige "qualifizierte Personen" gemäß NI 43-101. Der technische Bericht gemäß NI 43-101 trägt den Titel "Rajapalot Property Mineral Resource Estimate NI 43-101 Technical Report" und ist vom 14. September 2020 (der "aktualisierte technische Bericht"). Der aktualisierte technische Bericht kann auf der Website des Unternehmens unter www.mawsongold.com oder im Profil des Unternehmens auf SEDAR unter www.sedar.com eingesehen werden. Den Lesern wird empfohlen, den gesamten aktualisierten technischen Bericht zu lesen.

Qualifizierte Person

Dr. Nick Cook (FAusIMM), Chefgeologe des Unternehmens, ist eine qualifizierte Person gemäß National Instrument 43-101 - Standards of Disclosure or Mineral Projects und hat die wissenschaftlichen und technischen Informationen in dieser Pressemitteilung erstellt oder überprüft.

Über Mawson Gold Limited (TSX:MAW, FRANKFURT:MXR, OTC:PINK:MWSNF)

[MawsonGoldLimited](#) ist ein Explorations- und Erschließungsunternehmen. Mawson hat sich als führendes Explorationsunternehmen in der nordischen Arktis profiliert, wobei der Schwerpunkt auf dem Vorzeige-Gold-Kobalt-Projekt Rajapalot in Finnland liegt. Mawson besitzt auch drei hochgradige, historische, epizonale Goldfelder mit einer Fläche von 470 Quadratkilometern in Victoria, Australien, oder ist an Joint Ventures beteiligt und ist gut aufgestellt, um seine bereits bedeutenden Gold-Kobalt-Ressourcen in Finnland zu erweitern.

Weitere Informationen

www.mawsongold.com

1305 - 1090 West Georgia St., Vancouver, BC, V6E 3V7

Mariana Bermudez (Kanada), Unternehmenssekretärin, +1 (604) 685

9316, info@mawsongold.com

Im Namen des Verwaltungsrats,

"Michael Hudson"

Michael Hudson, Vorsitzender und CEO

In Europa:
Swiss Resource Capital AG
Jochen Staiger
info@resource-capital.ch
www.resource-capital.ch

Zukunftsgerichtete Aussagen Diese Pressemitteilung enthält zukunftsgerichtete Aussagen oder zukunftsgerichtete Informationen im Sinne der geltenden kanadischen Wertpapiergesetze (zusammenfassend als "zukunftsgerichtete Aussagen" bezeichnet). Alle hierin enthaltenen Aussagen, die sich nicht auf historische Fakten beziehen, sind zukunftsgerichtete Aussagen und basieren auf verschiedenen Schätzungen und Annahmen, einschließlich, aber nicht beschränkt auf die Erwartungen und Überzeugungen der Unternehmensleitung, einschließlich der Tatsache, dass das Unternehmen Zugang zu Finanzmitteln, geeigneter Ausrüstung und ausreichenden Arbeitskräften hat. Zukunftsgerichtete Aussagen sind in der Regel durch Wörter wie glauben, erwarten, vorhersehen, beabsichtigen, schätzen, postulieren und ähnliche Ausdrücke gekennzeichnet oder beziehen sich auf zukünftige Ereignisse. Mawson weist Investoren darauf hin, dass zukunftsgerichtete Aussagen keine Garantie für zukünftige Ergebnisse oder Leistungen sind und dass die tatsächlichen Ergebnisse aufgrund verschiedener Faktoren erheblich von denen in den zukunftsgerichteten Aussagen abweichen können, einschließlich, aber nicht beschränkt auf Kapital- und andere Kosten, die erheblich von den Schätzungen abweichen; Veränderungen auf den Weltmetallmärkten; Veränderungen auf den Aktienmärkten; die Fähigkeit, Ziele zu erreichen; dass das politische Umfeld, in dem das Unternehmen tätig ist, die Entwicklung und den Betrieb von Bergbauprojekten weiterhin unterstützt; die Bedrohung durch den Ausbruch von Viren und Infektionskrankheiten, einschließlich des neuartigen COVID-19-Virus; Risiken im Zusammenhang mit negativer Publicity in Bezug auf das Unternehmen oder die Bergbauindustrie im Allgemeinen; Abhängigkeit von einem einzigen Vermögenswert; geplante Bohrprogramme und von den Erwartungen abweichende Ergebnisse; unerwartete geologische Bedingungen; Beziehungen zu den örtlichen Gemeinden; Umgang mit Nichtregierungsorganisationen; Verzögerungen bei den Betriebsabläufen aufgrund von Genehmigungen; Umwelt- und Sicherheitsrisiken sowie andere Risiken und Ungewissheiten, die unter der Überschrift "Risikofaktoren" in Mawsons jüngstem Jahresbericht, der auf www.sedar.com. Auch wenn diese Faktoren und Annahmen von Mawson angesichts der Erfahrungen und Wahrnehmungen des Managements in Bezug auf die aktuellen Bedingungen und erwarteten Entwicklungen als vernünftig erachtet werden, kann Mawson nicht garantieren, dass sich diese Erwartungen als richtig erweisen werden. Jede zukunftsgerichtete Aussage bezieht sich nur auf das Datum, an dem sie gemacht wird, und Mawson lehnt jede Absicht oder Verpflichtung ab, zukunftsgerichtete Aussagen zu aktualisieren, sei es aufgrund neuer Informationen, zukünftiger Ereignisse oder Ergebnisse oder aus anderen Gründen, es sei denn, die geltenden Wertpapiergesetze verlangen dies.

Abbildung 1: Plan von Rajapalot zeigt nur die Ergebnisse des Bohrprogramms 2021. Die rot markierten Ergebnisse sind jene, über die in dieser Pressemitteilung berichtet wird. Gestrichelte rote Rechtecke zeigen den Schwerpunkt des Bohrprogramms zur Ressourcenerweiterung 2021 mit historischen Bohrungen, Ressourcengebieten und geophysikalischen EM-Platten.

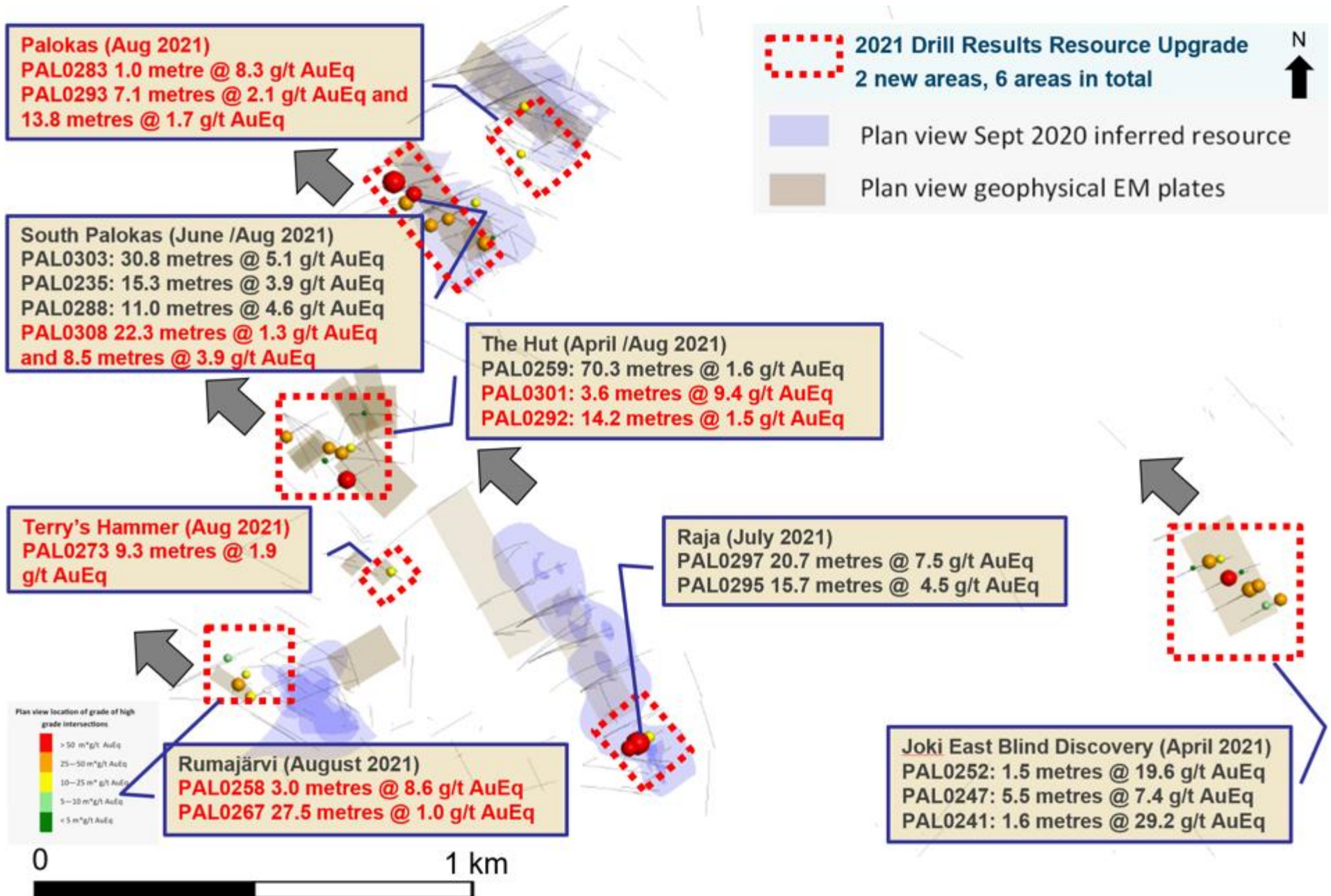


Tabelle 1: Halsbandinformationen aus dem Bohrprogramm 2020-21 auf dem Projekt Rajapalot (Finnisches Raster, Projektion KKJ3)

Bohrung ID	Ost	Norden	Azimit	Dip	RL	Tiefe (m)	Aussicht	Kommentar
PAL0235	3408208.1	7373667.8	047	-81.0	172.7	176,9 bis 522,0	Südpalokas	gemeldet am 29. Juni 2021
PAL0237	3409690	7374570	220	-61	180.4	68.5	Hirvimaa	gemeldet am 25. November 2020
PAL0238	3409662	7374613	220	-77	180.9	149.7	Hirvimaa	gemeldet am 25. November 2020
PAL0239	3410303.4	7372642.9	060	-66.0	151.0	41.7	Joki Ost	Verlassen, gemeldet 25 Nov 2020
PAL0240	3410305.1	7372643.6	060	-66.0	151.2	281.7	Joki Ost	gemeldet am 25. November 2020
PAL0241	3410337.8	7372661.1	060	-66.0	151.3	236.4	Joki Ost	gemeldet am 25. November 2020
PAL0242	3410364.0	7372674.9	060	-66.0	150.6	236.8	Joki Ost	gemeldet am 25. November 2020
PAL0243	3410309.3	7372708.5	060	-67.5	151.4	239.7	Joki Ost	gemeldet 21 Dez 2020
PAL0244	3410337.3	7372726.2	062	-68.0	151.4	251.7	Joki Ost	gemeldet 21 Dez 2020
PAL0245	3410275.0	7372690.0	060	-66.0	151.4	257.5	Joki Ost	gemeldet 21 Dez 2020
PAL0246	3410266.1	7372744.7	060	-71.0	152.3	287.6	Joki Ost	gemeldet 21 Dez 2020
PAL0247	3410211.8	7372728.5	061	-64.0	151.5	293.4	Joki Ost	gemeldet 21 Dez 2020
PAL0248	3411714.7	7371404.9	065	-60.0	124.9	323.6	Regional	gemeldet am 12. April 2021
PAL0249	3410204.0	7372724.3	064	-72.0	151.6	269.6	Joki Ost	gemeldet am 12. April 2021
PAL0250	3410404.0	7372632.2	060	-66.0	151.2	195.3	Joki Ost	gemeldet am 12. April 2021
PAL0251	3410374.9	7372616.9	060	-66.0	151.0	179.9	Joki Ost	gemeldet am 12. April 2021
PAL0252	3410435.4	7372651.2	060	-66.0	149.5	155.9	Joki Ost	gemeldet am 12. April 2021
PAL0253	3410154.1	7372819.7	061	-78.5	153.8	359.7	Joki Ost	gemeldet am 12. April 2021
PAL0254	3410153.2	7372821.5	061	-70.5	155.0	320.9	Joki Ost	gemeldet am 12. April 2021
PAL0255	3408125.6	7373140.2	090	-85.0	172.5	347.9	Hütte	gemeldet am 12. April 2021
PAL0256	3408125.6	7373140.2	088	-72.0	172.5	272.6	Hütte	gemeldet am 12. April 2021
PAL0257	3408126.6	7373140.2	087	-58.0	172.5	230.4	Hütte	gemeldet am 12. April 2021
PAL0258	3407835.1	7372449.6	039	-85.0	172.3	389.8	Rumajärvi	Hier wird berichtet
PAL0259	3408064.0	7372937.0	057	-61.5	173.4	299.9	Hütte	gemeldet am 12. April 2021
PAL0260	3408089.4	7373033.5	059	-70.0	173.1	320.6	Hütte	gemeldet am 12. April 2021
PAL0261	3408064.0	7372937.0	057	-74.0	173.4	311.7	Hütte	Hier wird berichtet
PAL0262	3408463.9	7373910.4	139	-73.0	173.6	358.9	Palokas	Hier wird berichtet
PAL0263	3408089.4	7373033.5	059	-84.0	173.1	329.8	Hütte	gemeldet am 12. April 2021
PAL0264	3407834.0	7372449.7	039	-68.0	172.8	125.5	Rumajärvi	Hier wird berichtet
PAL0265	3407956.6	7373143.7	143	-49.0	172.1	301.8	Hütte	gemeldet am 12. April 2021
PAL0266	3407835.1	7372448.6	210	-78.0	172.3	149.7	Rumajärvi	Hier wird berichtet
PAL0267	3407840.8	7372408.1	065	-48.2	172.7	268.9	Rumajärvi	Hier wird berichtet
PAL0268	3408186.3	7372767.6	060	-80.0	178.7	131.5	Terrys Hammer	Hier wird berichtet
PAL0269	3407956.6	7373143.7	126	-46.0	172.1	268.5	Hütte	gemeldet am 12. April 2021
PAL0270	3408463.9	7373910.4	124	-59.0	173.6	289.8	Palokas	Hier wird berichtet
PAL0271	3408186.3	7372767.6	210	-85.0	178.7	120.0	Terrys Hammer	Hier wird berichtet
PAL0272	3407840.8	7372408.1	065	-73.0	172.7	302.6	Rumajärvi	Hier wird berichtet
PAL0273	3408215.8	7372746.9	119	-54.0	177.3	82.1	Terrys Hammer	Hier wird berichtet
PAL0274	3407956.6	7373143.7	114	-45.0	172.1	280.2	Hütte	Hier wird berichtet
PAL0275	3408089.4	7373033.5	240	-81.0	173.1	161.8	Hütte	Hier wird berichtet
PAL0276	3408467.8	7373868.1	128	-50.0	172.0	23.9	Palokas	Hier wird berichtet
PAL0277	3408090.7	7373033.0	056	-81.5	173.6	257.3	Hütte	Hier wird berichtet
PAL0278	3407956.6	7373143.0	150	-50.0	172.1	280.0	Hütte	Hier wird berichtet
PAL0279	3408467.8	7373868.1	128	-50.0	172.0	287.9	Palokas	Hier wird berichtet
PAL0280	3407641.8	7372426.8	061	-38.0	173.0	342.9	Rumajärvi	Hier wird berichtet
PAL0281	3408544.8	7373674.7	116	-60.0	173.5	146.3	Südpalokas	Hier wird berichtet
PAL0282	3407941.4	7373070.5	061	-67.0	172.7	341.9	Hütte	Hier wird berichtet
PAL0283	3408467.8	7373868.1	141	-52.1	173.5	277.9	Palokas	Hier wird berichtet
PAL0284	3408521.2	7373606.0	062	-79.0	173.6	146.6	Südpalokas	Hier wird berichtet
PAL0285	3407641.8	7372426.9	061	-47.0	173.0	314.2	Rumajärvi	Hier wird berichtet
PAL0286	3408521.2	7373606.0	240	-69.0	173.6	149.4	Südpalokas	gemeldet am 03. August 2021
PAL0287	3407941.4	7373070.5	061	-76.0	172.7	346.7	Hütte	Hier wird berichtet
PAL0288	3408521.2	7373606.0	240	-57.0	173.6	172.8	Südpalokas	gemeldet am 29. Juni 2021
PAL0289	3408467.8	7373868.1	155	-52.0	172.0	305.2	Palokas	Hier wird berichtet
PAL0290	3408410.5	7373660.5	235	-78.0	174.0	335.6	Südpalokas	gemeldet am 29. Juni 2021
PAL0291	3407941.4	7373070.5	061	-85.0	172.7	329.3	Hütte	Hier wird berichtet
PAL0292	3408112.4	7372770.1	060	-61.0	172.4	149.1	Terrys Hammer	Hier wird berichtet
PAL0293	3408467.8	7373868.1	061	-68.0	172.0	344.3	Palokas	Hier wird berichtet
PAL0294	3407941.4	7373070.5	220	-87.0	172.7	353.7	Hütte	Hier wird berichtet
PAL0295	3408821.1	7372287.6	058	-80.0	172.7	140.2	Raja	gemeldet 13. Juli 2021
PAL0296	3408410.5	7373660.5	241	-71.5	174.0	368.7	Südpalokas	gemeldet am 03. August 2021
PAL0297	3408821.1	7372287.6	058	-66.0	172.7	169.4	Raja	gemeldet 13. Juli 2021
PAL0298	3408466.5	7373867.0	128	-65.0	173.9	305.1	Palokas	Hier wird berichtet
PAL0299	3408410.5	7373660.5	241	-64.5	174.0	394.7	Südpalokas	gemeldet am 03. August 2021
PAL0300	3408821.1	7372287.6	245	-80.0	172.7	142.5	Raja	gemeldet 13. Juli 2021
PAL0301	3407999.2	7373194.3	115	-57.0	172.1	335.0	Hütte	Hier wird berichtet
PAL0302	3408912.5	7372341.5	238	-73.0	172.3	163.8	Raja	gemeldet 13. Juli 2021

PAL0303	3407712.4	7373644.2	044	-75.5	172.7	629.2	Südpalokas	gemeldet am 03. August 2021
PAL0304	3407681.1	7373602.7	160	-58.0	173.6	125.2	Südpalokas	Hier wird berichtet
PAL0305	3407649.8	7373660.5	050	-82.0	174.0	281.5	Südpalokas	gemeldet am 03. August 2021
PAL0306	3407843	7372798	60	-45	172.4	280.6	Rumajärvi	Hier wird berichtet
PAL0307	3408273	7373630	66	-85	174.66	352.9	Südpalokas	gemeldet am 03. August 2021
PAL0308	3408134	7373634	50	-77	173	515.6	Südpalokas	gemeldet am 03. August 2021
PAL0309	3407850	7372499	81	-74	172.5	202.5	Rumajärvi	Hier wird berichtet
PAL0310	3408610	7373895	167	-76	174.86	209.5	Palokas	Hier wird berichtet
PAL0311	3408610	7373895	96	-55	174.86	78.9	Palokas	Aufgegeben wegen Schneeschmelze

Tabelle 2: Durchschneidungen des Winterbohrprogramms 2020-21. Die Abschnitte werden mit einem unteren Cutoff von 0,3 g/t AuEq (unter Verwendung von langfristig prognostizierten Gold- und Kobaltpreisen von 1.599 \$ pro Unze bzw. 19,93 \$ pro Pfund) über einen unteren Cutoff von 2 Metern gemeldet. Es wurde kein oberer Cutoff-Wert angewandt. "<" bedeutet unter der Nachweisgrenze von 0,05 g/t Au.

Aussicht	Bohrung ID	Von (m)	Nach (m)	Breite (m)	Au g/t	Co ppm	AuEq g/t
Südpalokas	PAL0235	439.5	454.7	15.3	3.0	998	3.9
Südpalokas	PAL0235	494.1	495.3	1.2	0.3	<	0.3
Joki Ost	PAL0240	148.8	149.8	1.0	0.9	5	0.9
Joki Ost	PAL0240	165.1	167.5	2.4	0.1	1187	1.1
Joki Ost	PAL0241	168.6	170.2	1.6	28.3	1190	29.3
Joki Ost	PAL0242	154.0	158.5	4.4	7.3	735	7.9
Joki Ost	PAL0243	193.0	195.9	2.9	0.6	574	1.1
Joki Ost	PAL0245	177.1	178.4	1.3	25.3	2327	27.3
Joki Ost	PAL0245	191.0	191.5	0.5	23.0	3974	26.4
Joki Ost	PAL0245	194.8	196.9	2.1	2.8	806	3.5
Joki Ost	PAL0246	188.6	189.2	0.6	10.3	725	10.9
Joki Ost	PAL0246	204.4	212.4	7.9	0.7	323	1.0
Joki Ost	PAL0247	216.6	218.5	1.9	0.7	103	0.7
Joki Ost	PAL0247	220.9	230.0	9.1	4.3	457	4.7
Joki Ost	PAL0249	177.3	178.3	1.0	2.5	344	2.8
Joki Ost	PAL0250	87.5	89.2	1.7	2.0	159	2.1
Joki Ost	PAL0250	120.5	121.5	1.0	0.8	130	0.9
Joki Ost	PAL0250	125.2	128.1	2.9	1.5	782	2.2
Joki Ost	PAL0250	136.6	137.6	1.0	1.8	33	1.8
Joki Ost	PAL0251	146.5	146.9	0.5	0.4	15	0.4
Joki Ost	PAL0251	152.8	153.9	1.2	0.4	29	0.4
Joki Ost	PAL0252	117.0	118.5	1.5	18.1	1696	19.6
Joki Ost	PAL0254	215.0	218.1	3.1	0.4	107	0.5
Joki Ost	PAL0254	288.5	290.0	1.5	1.3	167	1.4
Hütte	PAL0255	78.8	90.1	11.4	0.4	123	0.5
Hütte	PAL0255	102.5	103.5	1.1	0.1	314	0.3
Hütte	PAL0255	106.6	110.5	4.0	0.1	222	0.3
Hütte	PAL0255	212.7	213.8	1.1	0.1	609	0.6
Hütte	PAL0255	236.6	237.7	1.1	0.2	268	0.4
Hütte	PAL0255	312.1	313.1	1.0	1.0	44	1.1
Hütte	PAL0256	79.4	83.0	3.7	0.2	67	0.3
Hütte	PAL0256	95.9	96.9	1.0	0.2	382	0.5
Hütte	PAL0256	100.2	101.2	1.0	0.3	127	0.4
Hütte	PAL0256	110.0	113.0	3.0	0.9	549	1.3
Hütte	PAL0256	115.1	119.0	3.9	0.3	223	0.5
Hütte	PAL0256	121.4	125.0	3.7	0.1	234	0.3
Hütte	PAL0256	140.0	142.0	2.0	0.0	385	0.4
Hütte	PAL0257	47.0	48.0	1.0	0.1	219	0.3
Hütte	PAL0257	174.5	175.5	1.0	0.1	429	0.4
Rumajärvi	PAL0258	44.5	46.0	1.5	0.0	675	0.6
Rumajärvi	PAL0258	66.9	69.9	3.0	8.3	283	8.6
Rumajärvi	PAL0258	94.0	108.6	14.6	0.6	1094	1.5
Hütte	PAL0259	95.8	124.0	28.3	1.0	1090	2.0
Hütte	PAL0259	126.3	150.3	24.0	1.0	1104	2.0
Hütte	PAL0259	153.3	154.3	1.0	1.7	10	1.7
Hütte	PAL0259	159.0	166.0	7.0	1.1	31	1.2

Hütte	PAL0260	89.8	97.8	8.0	0.4	83	0.5
Hütte	PAL0260	109.0	114.4	5.4	3.0	262	3.2
Hütte	PAL0260	290.5	291.5	1.0	0.1	1357	1.2
Hütte	PAL0261	126.3	127.3	1.0	0.0	1644	1.4
Palokas	PAL0262	331.0	333.0	2.0	0.3	<	0.3
Palokas	PAL0262	338.0	340.0	2.0	0.3	<	0.3
Hütte	PAL0263	98.7	99.9	1.1	2.2	473	2.6
Hütte	PAL0263	103.0	116.6	13.6	1.2	98	1.3
Hütte	PAL0263	121.5	125.8	4.3	2.3	26	2.3
Hütte	PAL0263	222.3	231.5	9.2	1.1	256	1.3
Rumajärvi	PAL0264	43.8	45.7	2.0	0.4	1541	1.7
Rumajärvi	PAL0264	92.3	93.2	1.0	0.3	104	0.4
Rumajärvi	PAL0264	100.2	110.1	9.9	1.0	803	1.7
Hütte	PAL0265	203.2	204.2	1.0	1.0	11	1.0
Hütte	PAL0265	231.6	241.6	10.0	0.8	406	1.1
Rumajärvi	PAL0267	30.3	57.8	27.5	0.7	443	1.0
Rumajärvi	PAL0267	62.8	76.9	14.2	0.4	383	0.8
Rumajärvi	PAL0267	81.5	84.0	2.5	0.4	108	0.5
Terrys Hammer	PAL0268	26.8	28.8	2.0	0.8	122	0.9
Terrys Hammer	PAL0268	54.4	56.2	1.8	0.0	754	0.7
Hütte	PAL0269	185.7	186.7	1.0	0.1	461	0.5
Hütte	PAL0269	191.7	193.8	2.1	5.2	275	5.5
Hütte	PAL0269	195.9	210.9	15.0	1.0	307	1.3
Hütte	PAL0269	214.9	215.9	1.0	0.6	14	0.6
Hütte	PAL0269	219.4	222.4	3.0	3.1	13	3.1
Hütte	PAL0269	250.0	250.9	0.8	1.8	66	1.9
Palokas	PAL0270	216.0	218.4	2.4	0.3	328	0.6
Palokas	PAL0270	222.4	223.4	1.0	1.1	47	1.1
Rumajärvi	PAL0272	182.5	183.5	1.0	0.0	364	0.3
Terrys Hammer	PAL0273	14.6	23.9	9.3	1.5	422	1.9
Terrys Hammer	PAL0273	26.2	29.2	3.0	0.8	380	1.1
Hütte	PAL0274	270.1	272.1	2.0	0.4	100	0.5
Hütte	PAL0275	156.5	158.5	2.0	0.7	49	0.8
Hütte	PAL0278	101.0	102.3	1.3	0.5	71	0.6
Hütte	PAL0278	170.8	172.8	2.0	0.2	560	0.6
Hütte	PAL0278	174.8	175.8	1.0	0.1	694	0.7
Hütte	PAL0278	220.5	223.6	3.2	1.4	168	1.6
Palokas	PAL0279	192.6	193.6	1.0	0.4	484	0.8
Palokas	PAL0279	219.2	220.2	1.0	0.3	14	0.4
Palokas	PAL0279	223.2	224.2	1.0	0.3	132	0.4
Palokas	PAL0279	227.9	231.9	4.1	0.3	76	0.3
Palokas	PAL0279	250.0	252.0	2.0	0.0	666	0.6
Rumajärvi	PAL0280	240.5	241.0	0.5	0.0	434	0.4
Rumajärvi	PAL0280	247.0	253.4	6.4	1.0	1302	2.1
Hütte	PAL0282	123.1	125.1	2.0	0.5	58	0.5
Hütte	PAL0282	140.0	141.0	1.0	0.0	349	0.3
Hütte	PAL0282	174.3	175.3	1.0	0.0	480	0.4
Palokas	PAL0283	205.0	209.3	4.3	0.3	118	0.5
Palokas	PAL0283	222.8	223.8	1.0	8.2	52	8.3

Rumajärvi	PAL0285	239.0	240.0	1.0	0.1	750	0.7
Südpalokas	PAL0286	100.6	115.6	15.0	0.2	669	0.8
Südpalokas	PAL0288	119.0	130.0	11.0	4.0	756	4.6
Südpalokas	PAL0288	134.0	140.0	6.0	0.3	448	0.7
Palokas	PAL0289	195.0	198.0	3.0	0.0	241	0.2
Palokas	PAL0289	200.1	201.2	1.1	0.0	366	0.3
Südpalokas	PAL0290	186.0	194.0	8.0	0.3	394	0.6
Südpalokas	PAL0290	197.0	198.0	1.0	0.7	142	0.8
Südpalokas	PAL0290	201.0	203.0	2.0	0.0	372	0.3
Südpalokas	PAL0290	229.8	230.8	1.0	0.1	444	0.4
Südpalokas	PAL0290	240.0	260.0	20.0	1.7	529	2.1
Hütte	PAL0291	106.9	107.9	1.0	11.2	28	11.2
Hütte	PAL0291	213.2	215.2	2.0	0.2	1187	1.2
Hütte	PAL0291	284.5	298.7	14.2	1.2	353	1.5
Palokas	PAL0293	260.2	267.3	7.1	1.7	466	2.1
Palokas	PAL0293	274.2	288.0	13.8	1.0	899	1.7
Palokas	PAL0293	291.2	295.2	4.0	1.2	321	1.5
Hütte	PAL0294	206.9	209.9	3.0	0.1	931	0.9
Hütte	PAL0294	213.9	219.9	6.0	0.1	1006	1.0
Hütte	PAL0294	249.8	253.8	4.0	0.1	540	0.5
Raja	PAL0295	31.6	37.6	6.0	0.0	1054	0.9
Raja	PAL0295	40.7	41.7	1.0	0.0	930	0.8
Raja	PAL0295	49.3	50.3	1.0	0.7	175	0.8
Raja	PAL0295	53.3	69.0	15.7	3.8	783	4.5
Südpalokas	PAL0296	203.5	204.5	1.0	0.3	194	0.5
Südpalokas	PAL0296	254.0	278.0	24.0	1.3	538	1.8
Südpalokas	PAL0296	281.0	291.4	10.4	0.4	141	0.5
Südpalokas	PAL0296	322.5	329.5	7.0	1.8	288	2.0
Raja	PAL0297	40.9	45.9	5.0	0.0	1127	1.0
Raja	PAL0297	65.4	68.4	3.0	2.8	263	3.0
Raja	PAL0297	74.0	94.7	20.7	7.4	111	7.5
Raja	PAL0297	97.7	106.2	8.5	2.3	812	3.0
Palokas	PAL0298	232.4	236.4	4.0	0.7	28	0.7
Palokas	PAL0298	244.1	245.1	1.0	0.5	81	0.6
Palokas	PAL0298	249.1	252.1	3.0	2.8	60	2.8
Palokas	PAL0298	260.1	263.1	3.0	1.2	33	1.3
Palokas	PAL0298	266.1	269.1	3.0	0.6	15	0.6
Südpalokas	PAL0299	339.0	341.0	2.0	0.7	167	0.8
Hütte	PAL0301	160.0	161.0	1.0	0.3	50	0.4
Hütte	PAL0301	181.3	182.3	1.0	1.3	31	1.3
Hütte	PAL0301	186.3	186.9	0.6	0.0	327	0.3
Hütte	PAL0301	207.7	211.2	3.5	7.4	2290	9.4
Hütte	PAL0301	251.7	252.9	1.2	0.0	551	0.5
Hütte	PAL0301	266.2	267.9	1.7	0.0	400	0.4
Hütte	PAL0301	325.8	327.8	2.0	0.5	200	0.7
Raja	PAL0302	97.4	99.4	2.0	7.1	96	7.2
Raja	PAL0302	125.4	126.4	1.0	0.4	33	0.4
Raja	PAL0302	144.0	148.4	4.4	1.6	512	2.0
Südpalokas	PAL0303	553.2	584.0	30.8	3.9	1403	5.1

Südpalokas	PAL0303	597.8	600.8	3.0	0.0	498	0.5
Südpalokas	PAL0303	613.7	616.2	2.6	0.0	1703	1.5
Südpalokas	PAL0304	56.2	61.1	5.0	0.3	43	0.3
Südpalokas	PAL0305	190.7	192.7	2.0	0.5	15	0.5
Südpalokas	PAL0305	196.7	197.7	1.0	0.4	80	0.5
Südpalokas	PAL0305	201.3	203.3	2.0	1.9	110	2.0
Südpalokas	PAL0305	220.9	237.6	16.8	0.6	663	1.1
Rumajärvi	PAL0306	23.3	29.0	5.8	0.3	131	0.4
Rumajärvi	PAL0306	75.8	76.8	1.1	0.3	325	0.5
Südpalokas	PAL0307	305.4	308.6	3.2	0.3	499	0.7
Südpalokas	PAL0307	312.6	316.6	4.0	0.1	334	0.4
Südpalokas	PAL0307	319.5	320.4	0.9	0.1	591	0.6
Südpalokas	PAL0308	439.5	461.7	22.3	0.6	751	1.3
Südpalokas	PAL0308	492.6	501.0	8.4	3.1	866	3.9
Rumajärvi	PAL0309	74.2	78.0	3.8	0.0	1146	1.0
Palokas	PAL0310	143.5	146.7	3.2	0.0	889	0.8
Palokas	PAL0310	149.0	153.0	4.0	0.1	628	0.6
Palokas	PAL0310	159.0	170.8	11.8	0.4	317	0.7

Tabelle 3: Einzelne Untersuchungsdaten der Bohrlöcher, über die in dieser Pressemitteilung berichtet wird.

Bohrung ID	Von (m)	Nach (m)	Breite (m)	Au g/t	Co ppm	AuEq g/t
PAL0258	44.5	46.0	1.5	<	675	0.6
PAL0258	66.9	67.9	1.0	5.1	229	5.3
PAL0258	67.9	68.9	1.0	19.5	396	19.8
PAL0258	68.9	69.9	1.0	0.3	225	0.5
PAL0258	94.0	95.0	1.0	0.4	1819	2.0
PAL0258	95.0	96.0	1.0	0.9	1033	1.7
PAL0258	96.0	97.0	1.0	0.8	1366	1.9
PAL0258	97.0	98.2	1.2	1.9	1087	2.8
PAL0258	98.2	99.6	1.4	1.2	1363	2.3
PAL0258	99.6	101.0	1.5	0.6	567	1.0
PAL0258	101.0	102.0	1.0	0.7	1401	1.9
PAL0258	102.0	103.0	1.0	0.5	1375	1.6
PAL0258	103.0	104.0	1.0	0.3	1148	1.2
PAL0258	104.0	105.0	1.0	0.2	913	1.0
PAL0258	105.0	106.0	1.0	<	12	0.0
PAL0258	106.0	107.0	1.0	0.3	1151	1.2
PAL0258	107.0	108.6	1.6	0.2	1120	1.1
PAL0261	126.3	127.3	1.0	0.0	1644	1.4
PAL0262	331.0	333.0	2.0	0.3		0.3
PAL0262	338.0	340.0	2.0	0.3		0.3
PAL0264	43.8	44.7	1.0	0.3	1595	1.6
PAL0264	44.7	45.7	1.0	0.5	1489	1.8
PAL0264	92.3	93.2	1.0	0.3	104	0.4
PAL0264	100.2	101.1	1.0	0.2	1996	1.9
PAL0264	101.1	102.1	1.0	0.3	656	0.9
PAL0264	102.1	103.0	0.9	0.9	423	1.2
PAL0264	103.0	103.8	0.8	1.3	688	1.9
PAL0264	103.8	104.9	1.1	0.1	1520	1.4
PAL0264	104.9	105.9	1.0	2.8	1873	4.4
PAL0264	105.9	106.9	1.0	4.0	467	4.4
PAL0264	106.9	107.6	0.8	0.5	153	0.6
PAL0264	107.6	108.5	0.9	0.1	144	0.2
PAL0264	108.5	109.4	0.9	0.1	56	0.1
PAL0264	109.4	110.1	0.8	0.4	379	0.7
PAL0267	30.3	31.3	1.0	0.1	808	0.8
PAL0267	31.3	32.3	1.0	<	64	0.1
PAL0267	32.3	33.3	1.0	<	59	0.1
PAL0267	33.3	34.3	1.0	1.6	512	2.0
PAL0267	34.3	35.0	0.7	1.4	164	1.5
PAL0267	35.0	36.0	1.0	0.5	49	0.6
PAL0267	36.0	37.0	1.0	<	15	0.0
PAL0267	37.0	38.0	1.0	<	26	0.0
PAL0267	38.0	39.0	1.0	0.4	21	0.4
PAL0267	39.0	39.7	0.7	0.2	19	0.2
PAL0267	39.7	40.3	0.6	<	25	0.0
PAL0267	40.3	41.3	1.0	0.1	760	0.8

PAL0267	41.3	42.0	0.7	<	482	0.4
PAL0267	42.0	43.0	1.0	<	224	0.2
PAL0267	43.0	44.0	1.0	0.9	1176	1.9
PAL0267	44.0	45.0	1.0	2.4	784	3.0
PAL0267	45.0	46.0	1.0	0.6	515	1.1
PAL0267	46.0	47.0	1.0	0.2	788	0.9
PAL0267	47.0	48.0	1.0	4.3	782	5.0
PAL0267	48.0	49.0	1.0	1.9	593	2.4
PAL0267	49.0	50.0	1.0	0.7	581	1.2
PAL0267	50.0	51.0	1.0	<	510	0.5
PAL0267	51.0	51.8	0.8	<	390	0.4
PAL0267	51.8	52.8	1.0	0.5	679	1.1
PAL0267	52.8	53.8	1.0	0.3	724	0.9
PAL0267	53.8	54.8	1.0	0.2	608	0.7
PAL0267	54.8	55.8	1.0	0.1	147	0.2
PAL0267	55.8	56.8	1.0	0.2	542	0.6
PAL0267	56.8	57.8	1.0	1.9	411	2.3
PAL0267	62.8	63.8	1.0	0.2	643	0.8
PAL0267	63.8	64.8	1.0	0.8	1274	1.9
PAL0267	64.8	65.8	1.0	0.2	601	0.7
PAL0267	65.8	66.6	0.8	0.1	262	0.3
PAL0267	66.6	68.0	1.5	<	419	0.4
PAL0267	68.0	69.0	1.0	<	102	0.1
PAL0267	69.0	70.0	1.0	0.1	364	0.4
PAL0267	70.0	71.0	1.0	0.3	362	0.6
PAL0267	71.0	72.0	1.0	0.1	171	0.3
PAL0267	72.0	73.0	1.0	0.5	212	0.6
PAL0267	73.0	74.0	1.0	0.3	495	0.7
PAL0267	74.0	75.0	1.0	0.1	209	0.3
PAL0267	75.0	75.9	0.9	0.1	19	0.1
PAL0267	75.9	76.9	1.0	3.6	154	3.8
PAL0267	81.5	82.1	0.6	0.4	207	0.6
PAL0267	82.1	83.1	1.0	0.2	67	0.3
PAL0267	83.1	84.0	0.9	0.5	88	0.6
PAL0268	26.8	27.8	1.0	1.4	120	1.5
PAL0268	27.8	28.8	1.0	0.3	124	0.4
PAL0268	54.4	55.2	0.8	<	484	0.4
PAL0268	55.2	56.2	1.0	<	969	0.9
PAL0270	216.0	217.2	1.2	0.1	406	0.5
PAL0270	217.2	218.4	1.2	0.4	250	0.6
PAL0270	222.4	223.4	1.0	1.1	47	1.1
PAL0273	14.6	15.9	1.3	1.4	183	1.5
PAL0273	15.9	16.9	1.0	2.3	204	2.5
PAL0273	16.9	17.9	1.0	2.6	545	3.0
PAL0273	17.9	18.9	1.0	2.2	686	2.8
PAL0273	18.9	19.9	1.0	2.3	746	3.0
PAL0273	19.9	20.9	1.0	0.7	403	1.0
PAL0273	20.9	21.9	1.0	1.1	66	1.1
PAL0273	21.9	22.9	1.0	0.3	547	0.8

PAL0273	22.9	23.9	1.1	0.6	477	1.0
PAL0273	23.9	24.9	1.0	<	45	0.1
PAL0273	24.9	26.2	1.3	<	43	0.1
PAL0273	26.2	27.2	1.0	0.2	326	0.4
PAL0273	27.2	28.2	1.0	0.3	561	0.8
PAL0273	28.2	29.2	1.0	2.0	254	2.2
PAL0274	270.1	271.1	1.0	0.3	74	0.3
PAL0274	271.1	272.1	1.0	0.6	125	0.7
PAL0275	156.5	157.5	1.0	0.9	64	0.9
PAL0275	157.5	158.5	1.0	0.6	34	0.6
PAL0278	101.0	102.3	1.3	0.5	71	0.6
PAL0278	170.8	171.8	1.0	0.3	745	0.9
PAL0278	171.8	172.8	1.0	<	375	0.3
PAL0278	172.8	173.8	1.0	<	14	0.0
PAL0278	173.8	174.8	1.1	<	35	0.1
PAL0278	174.8	175.8	1.0	0.1	694	0.7
PAL0278	220.5	221.5	1.0	2.6	238	2.8
PAL0278	221.5	222.5	1.0	1.1	105	1.2
PAL0278	222.5	223.6	1.2	0.8	161	0.9
PAL0279	192.6	193.6	1.0	0.4	484	0.8
PAL0279	219.2	220.2	1.0	0.3	14	0.4
PAL0279	223.2	224.2	1.0	0.3	132	0.4
PAL0279	227.9	228.9	1.0	0.2	171	0.4
PAL0279	228.9	229.9	1.0	0.2	37	0.2
PAL0279	229.9	230.9	1.0	0.1	47	0.1
PAL0279	230.9	231.9	1.1	0.6	49	0.6
PAL0279	250.0	251.0	1.0	<	732	0.7
PAL0279	251.0	252.0	1.0	<	600	0.5
PAL0280	240.5	241.0	0.5	<	434	0.4
PAL0280	247.0	248.0	1.0	<	594	0.5
PAL0280	248.0	249.0	1.0	0.6	1833	2.2
PAL0280	249.0	250.0	1.0	0.6	1552	2.0
PAL0280	250.0	251.0	1.0	4.7	1334	5.9
PAL0280	251.0	252.0	1.0	0.2	1491	1.5
PAL0280	252.0	253.0	1.0	0.2	1200	1.2
PAL0280	253.0	253.4	0.4	0.3	817	1.0
PAL0282	123.1	124.1	1.0	0.7	60	0.8
PAL0282	124.1	125.1	1.0	0.3	57	0.3
PAL0282	140.0	141.0	1.0	<	349	0.3
PAL0282	174.3	175.3	1.0	<	480	0.4
PAL0283	205.0	206.0	1.0	<	420	0.4
PAL0283	206.0	208.0	2.0	<	35	0.1
PAL0283	208.0	209.3	1.3	1.1	12	1.1
PAL0283	222.8	223.8	1.0	8.2	52	8.3
PAL0285	239.0	240.0	1.0	0.1	750	0.7
PAL0289	195.0	196.0	1.0	<	355	0.3
PAL0289	196.0	197.0	1.0	<	43	0.1
PAL0289	197.0	198.0	1.0	<	324	0.3
PAL0289	198.0	199.1	1.1	<	233	0.2

PAL0289	199.1	200.1	1.0	<	218	0.2
PAL0289	200.1	201.2	1.1	0.0	366	0.3
PAL0291	106.9	107.9	1.0	11.2	28	11.2
PAL0291	213.2	214.2	1.0	0.4	1945	2.1
PAL0291	214.2	215.2	1.0	<	430	0.4
PAL0291	284.5	285.5	1.0	1.1	15	1.1
PAL0291	285.5	286.5	1.0	1.1	18	1.1
PAL0291	286.5	287.5	1.0	2.9	43	3.0
PAL0291	287.5	288.5	1.0	1.7	107	1.8
PAL0291	288.5	289.5	1.0	2.0	114	2.1
PAL0291	289.5	290.5	1.0	2.0	500	2.5
PAL0291	290.5	291.5	1.0	0.8	115	0.9
PAL0291	291.5	292.5	1.0	0.1	56	0.1
PAL0291	292.5	293.5	1.0	0.5	695	1.1
PAL0291	293.5	294.5	1.0	0.1	442	0.5
PAL0291	294.5	295.4	0.9	0.2	106	0.3
PAL0291	295.4	296.4	1.0	1.8	357	2.1
PAL0291	296.4	297.4	1.0	1.8	2214	3.7
PAL0291	297.4	298.7	1.3	0.4	177	0.5
PAL0293	260.2	261.2	1.0	10.1	622	10.6
PAL0293	261.2	262.2	1.0	0.6	233	0.8
PAL0293	262.2	263.2	1.0	<	161	0.2
PAL0293	263.2	264.2	1.0	<	65	0.1
PAL0293	264.2	265.3	1.1	0.8	1055	1.7
PAL0293	265.3	266.3	1.0	0.5	357	0.8
PAL0293	266.3	267.3	1.0	0.2	708	0.8
PAL0293	274.2	275.0	0.8	1.3	1479	2.5
PAL0293	275.0	276.0	1.0	0.7	1782	2.3
PAL0293	276.0	277.0	1.0	0.1	178	0.2
PAL0293	277.0	278.0	1.0	0.1	372	0.4
PAL0293	278.0	279.0	1.0	2.6	456	2.9
PAL0293	279.0	280.0	1.0	0.1	540	0.5
PAL0293	280.0	281.0	1.0	0.6	1982	2.3
PAL0293	281.0	282.0	1.0	0.4	1744	1.9
PAL0293	282.0	283.0	1.0	0.1	735	0.7
PAL0293	283.0	284.0	1.0	0.1	490	0.5
PAL0293	284.0	285.0	1.0	0.1	686	0.7
PAL0293	285.0	286.0	1.0	1.8	1148	2.8
PAL0293	286.0	287.0	1.0	2.7	773	3.3
PAL0293	287.0	288.0	1.0	3.2	340	3.5
PAL0293	288.0	289.2	1.2	<	148	0.2
PAL0293	289.2	290.2	1.0	<	134	0.1
PAL0293	290.2	291.2	1.0	<	94	0.1
PAL0293	291.2	292.2	1.0	1.2	385	1.5
PAL0293	292.2	293.2	1.0	1.7	356	2.0
PAL0293	293.2	294.2	1.0	1.2	515	1.7
PAL0293	294.2	295.2	1.0	0.7	27	0.7
PAL0294	206.9	207.9	1.0	0.1	991	1.0
PAL0294	207.9	208.9	1.0	0.1	1336	1.3

PAL0294	208.9	209.9	1.0	0.1	467	0.5
PAL0294	213.9	214.9	1.0	0.2	1010	1.0
PAL0294	214.9	215.9	1.0	0.1	1002	1.0
PAL0294	215.9	216.9	1.0	0.1	722	0.7
PAL0294	216.9	217.9	1.0	0.2	2195	2.1
PAL0294	217.9	218.9	1.0	<	678	0.6
PAL0294	218.9	219.9	1.0	<	430	0.4
PAL0294	249.8	250.8	1.0	0.1	408	0.4
PAL0294	250.8	251.8	1.0	0.1	470	0.5
PAL0294	251.8	252.8	1.0	0.1	753	0.7
PAL0294	252.8	253.8	1.0	0.1	529	0.5
PAL0298	232.4	233.4	1.0	0.3	26	0.3
PAL0298	235.4	236.4	1.0	2.2	55	2.3
PAL0298	244.1	245.1	1.0	0.5	81	0.6
PAL0298	249.1	250.1	1.0	7.2	118	7.3
PAL0298	250.1	251.1	1.0	0.9	46	0.9
PAL0298	251.1	252.1	1.0	0.3	16	0.3
PAL0298	260.1	261.1	1.0	0.8	5	0.8
PAL0298	261.1	262.1	1.0	2.3	37	2.4
PAL0298	262.1	263.1	1.0	0.6	56	0.7
PAL0298	266.1	267.1	1.0	0.5	10	0.5
PAL0298	267.1	268.1	1.0	0.4	19	0.4
PAL0298	268.1	269.1	1.0	0.9	17	0.9
PAL0301	160.0	161.0	1.0	0.3	50	0.4
PAL0301	181.3	182.3	1.0	1.3	31	1.3
PAL0301	186.3	186.9	0.6	<	327	0.3
PAL0301	207.7	208.2	0.6	3.0	452	3.4
PAL0301	208.2	209.2	1.0	2.0	1059	2.9
PAL0301	209.2	210.2	1.0	3.2	3716	6.4
PAL0301	210.2	211.2	1.0	19.5	3104	22.2
PAL0301	251.7	252.9	1.2	<	551	0.5
PAL0301	266.2	267.3	1.1	<	418	0.4
PAL0301	267.3	267.9	0.6	<	367	0.3
PAL0301	325.8	326.8	1.0	0.9	79	1.0
PAL0301	326.8	327.8	1.0	0.1	320	0.4
PAL0304	56.2	57.1	1.0	0.7	56	0.8
PAL0304	57.1	58.1	1.0	<	14	0.0
PAL0304	58.1	59.1	1.0	<	16	0.0
PAL0304	59.1	60.1	1.0	0.3	10	0.3
PAL0304	60.1	61.1	1.0	0.2	121	0.3
PAL0306	23.3	24.3	1.0	0.4	168	0.5
PAL0306	24.3	25.5	1.3	0.4	85	0.5
PAL0306	25.5	26.7	1.2	0.1	130	0.2
PAL0306	26.7	27.7	1.0	0.2	240	0.4
PAL0306	27.7	29.0	1.3	0.4	63	0.4
PAL0309	74.2	75.2	1.0	<	1419	1.2
PAL0309	75.2	76.6	1.4	<	1690	1.5
PAL0309	76.6	78.0	1.4	<	408	0.4
PAL0310	143.5	144.5	1.0	<	337	0.3

PAL0310	144.5	145.7	1.2	0.1	1701	1.5
PAL0310	145.7	146.7	1.0	<	467	0.4
PAL0310	146.7	148.0	1.3	<	24	0.0
PAL0310	148.0	149.0	1.0	<	129	0.1
PAL0310	149.0	150.0	1.0	0.2	579	0.7
PAL0310	150.0	151.0	1.0	0.1	1036	1.0
PAL0310	151.0	152.0	1.0	<	571	0.5
PAL0310	152.0	153.0	1.0	<	326	0.3
PAL0310	159.0	160.0	1.0	0.1	402	0.4
PAL0310	160.0	161.0	1.0	0.3	272	0.5
PAL0310	161.0	162.0	1.0	0.6	263	0.8
PAL0310	162.0	162.8	0.8	0.5	227	0.7
PAL0310	162.8	163.6	0.8	0.1	312	0.4
PAL0310	163.6	164.6	1.1	<	93	0.1
PAL0310	164.6	165.8	1.2	1.7	195	1.8
PAL0310	165.8	166.9	1.1	1.0	301	1.2
PAL0310	166.9	168.0	1.2	0.1	313	0.4
PAL0310	168.0	169.0	1.0	0.1	373	0.4
PAL0310	169.0	170.0	1.0	0.1	334	0.4
PAL0310	170.0	170.8	0.8	<	833	0.7